

تعیین سطوح پلوفیدی ژنوتیپ‌های لایم منسوب به پرشین لایم (*Citrus latifolia* Tanaka) در ایران

Determination of Ploidy Level of Lime Genotypes Known as Persian Lime (*Citrus latifolia* Tanaka) in Iran

حامد حسن‌زاده خانکهدانی^۱، سمیه رستگار^۲، بهروز گل‌عین^۳، مرتضی گلمحمدی^۴ و عبدالحسین ابوطالبی جهرمی^۵

- ۱ دانش آموخته دکتری، گروه باغبانی، دانشکده کشاورزی و منابع طبیعی، دانشگاه هرمزگان، و محقق بخش تحقیقات علوم زراعی و باغی، مرکز تحقیقات و آموزش کشاورزی و منابع طبیعی هرمزگان، سازمان تحقیقات، آموزش و ترویج کشاورزی، بندرعباس، ایران.
- ۲ استادیار، گروه باغبانی، دانشکده کشاورزی و منابع طبیعی، دانشگاه هرمزگان، بندرعباس، ایران.
- ۳ دانشیار، پژوهشکده مرکبات و میوه‌های نیمه گرمسیری، مؤسسه تحقیقات علوم باغبانی، سازمان تحقیقات، آموزش و ترویج کشاورزی، رامسر، ایران.
- ۴ استادیار، پژوهشکده مرکبات و میوه‌های نیمه گرمسیری، مؤسسه تحقیقات علوم باغبانی، سازمان تحقیقات، آموزش و ترویج کشاورزی، رامسر، ایران.
- ۵ دانشیار، گروه باغبانی، دانشگاه آزاد اسلامی واحد جهرم، جهرم، ایران.

تاریخ دریافت: ۱۳۹۶/۱۲/۹ تاریخ پذیرش: ۱۳۹۷/۵/۲۹

چکیده

حسن‌زاده خانکهدانی، ح.، رستگار، س.، گل‌عین، ب.، گلمحمدی، م.، و ابوطالبی جهرمی، ع. تعیین سطوح پلوفیدی ژنوتیپ‌های لایم منسوب به پرشین لایم (*Citrus latifolia* Tanaka) در ایران. مجله بهنوزادی نهال و بذر ۱، شماره ۳، سال ۱۳۹۷

شیوع بیماری جاروک لیموترش در مناطق عمده پرورش لایم در ایران، تولید کنندگان را به سمت کاشت گونه لایم تریپلوبید مقاوم به این بیماری یعنی پرشین لایم ترغیب کرده است تا تولید لایم در جنوب ایران تداوم داشته باشد. در این رابطه، تعداد قابل ملاحظه‌ای از ژنوتیپ‌های ناشناخته لایم توسط باغداران به عنوان پرشین لایم کشت می‌شود که همچو اطلاعات ثبت شده‌ای از منشاء، مورفولوژی و زمینه ژنتیکی آن‌ها وجود ندارد. جهت مشخص کردن وضعیت رده‌بندی گیاهی ژنوتیپ‌های لایم مشابه با پرشین لایم، ۱۸ ژنوتیپ جمع آوری شده از استان‌های فارس، هرمزگان و مازندران، با استفاده از روش فلوسایتومتری و ویژگی‌های مورفولوژی در سال ۱۳۹۵ در مرکز تحقیقات و آموزش کشاورزی و منابع طبیعی استان هرمزگان، بندرعباس، مورد بررسی قرار گرفتند. نتایج فلوسایتومتری نشان داد که ۱۴ ژنوتیپ از ۱۸ ژنوتیپ لایم مورد بررسی، تریپلوبید و بقیه دیپلوبید بودند. میزان شاخص DNA برای چهار ژنوتیپ دیپلوبید از ۰/۸۹۶ تا ۰/۱۰۰۰ و در ژنوتیپ‌های تریپلوبید از ۱/۳۱۳ تا ۱/۵۶۳ متغیر بود. ژنوتیپ‌های تریپلوبید ابعاد بزرگ تر و تراکم روزنه و کیسه‌های ترشحی کمتری نسبت به ژنوتیپ‌های دیپلوبید داشتند. نتایج نشان داد که ژنوتیپ‌های خارکل، لیموی خیاری و لیموی موسوم به مصری (که به اشتباه به جای پرشین لایم در برخی مناطق جنوبی ایران کشت می‌شود) دیپلوبید می‌باشند و ممکن است به بیماری جاروک لیموترش حساس باشند.

واژه‌های کلیدی: پرشین لایم، تاهیتی لایم، تریپلوبید، شاخص DNA، کیسه‌های ترشحی.

مقدمه

تخمک دیپلوبیید مکزیکن لایم بارور شده با بالنگ) ایجاد شده است (Curk *et al.*, 2016). با این حال، گزارش شده است که بیرس لایم و پرشین لایم دو واریته مجزا هستند، هر چند مشابهت‌هایی در شکل میوه دارند (Hodgson, 1967).

اهمیت پلیپلوبییدی در کشاورزی به خوبی شناخته شده است. گیاهان پلیپلوبیید دارای سازگاری اکولوژیکی بیشتری بوده و امکان استقرار وبقاء تحت شرایط سخت را دارند. همچنین، به نظر می‌رسد پلیپلوبییدی باعث افزایش فعالیت ژنی و تنوع آنزیمی، سرعت فتوسنتز بالاتر همگام با تنفس کمتر، سرعت رشد کمتر اما تحمل بیشتر به تنش‌های شوری، خشکی و تغذیه‌ای و افزایش مقاومت به بیماری‌ها می‌شود (Lavania, 2005).

سطوح پلیپلوبییدی نظیر تریپلوبیید، ترتاپلوبیید، پنتاپلوبیید، هگزاپلوبیید و اکتاپلوبیید در گونه‌های مختلف مرکبات به طور معمول وجود دارند (Longley, 1925). گیاهان پلیپلوبیید، اغلب فنوتیپ جدیدی نشان داده و صفت مورد نظر در اجداد خود را در برخی ویژگی‌ها نظیر تحمل به خشکی، نامیزیدن، مقاومت به آفت و تولید زیست‌توده، شدیدتر بروز می‌دهند. این ویژگی‌ها، شناس این گیاهان را برای ورود به برنامه‌های بهنژادی در کشاورزی افزایش می‌دهند (Shahriari-Ahmadi *et al.*, 2008).

تکنیک‌های مختلفی برای تعیین سطح پلوبییدی در گیاهان وجود دارد که عبارتند از:

پرشن لایم (*Citrus latifolia* Tanaka) که با عنوان تاهیتی لایم یا بیرس لایم نیز شناخته می‌شود، یک دورگ تریپلوبیید مرکبات است که به طور گسترده در هند، مکزیک، چین، آرژانتین و برباد کشت می‌شود (Cantuarias-Avilés *et al.*, 2012). پرشین لایم، به ویژه در سال‌های اخیر، به دلیل مقاومت به فیتوپلاسمای بیماری جاروک لیموترش (Witches Broom Disease of Lime = WBDL) مورد توجه قرار گرفته است (Salehi *et al.*, 2005). پرشین لایم بدون بذر بوده یا به ندرت تولید بذر می‌کند و احتمالاً دورگ بین لایم و لمون یا بالنگ است (Singh *et al.*, 2002). گزارش‌هایی وجود دارد که ژنوتیپ‌های پرشین لایم از تلاقی تخمک ها پلوبیید لمون (*Citrus limon*) و گامت دیپلوبیید مکزیکن لایم (*Citrus aurantifolia*) منشأ گرفته‌اند (Curk *et al.*, 2016).

بیرس لایم که به طور تجاری در کالیفرنیا پرورش می‌یابد، با نام‌های مختلفی نظیر باربارا، بیروم‌سیدلس، IAC، پارکر و تانپائو شناخته می‌شود (Cottin, 2002)، بنابراین، بیرس لایم و IAC، ژنوتیپ‌های مشابه پرشین لایم از طرفی، گزارش شده است که تانپائولایم یک ژنوتیپ تریپلوبیید از مکزیکن لایم بوده که احتمالاً از تلاقی برگشته بین گونه‌ای (یک

ولی اندازه سلول محافظ روزنه افزایش می‌یابد (Yuan *et al.*, 2009; Ye *et al.*, 2010; Malekzadeh-Shafaroodi *et al.*, 2011; Hosseini *et al.*, 2014). در جنس سیتروس (Citrus)، تراکم و اندازه روزنه در چندین گونه نارنج گریپ‌فروت مارش، لمون، پرتقال والنسیا، نارنج (Germana *et al.*, 2002) و نارنگی کینو (Jaskani *et al.*, 2002) مورد بررسی قرار گرفته است.

این روش‌ها همچنین به عنوان نشانگرهای ریخت‌شناسی برای شناسایی سطح پلوئیدی در گیاهان مورد استفاده قرار می‌گیرند. در بررسی سطح پلوئیدی نارنگی کلمانتین با استفاده از تکنیک فلوسایتو متري مشخص شده است که یک رابطه مثبت بین سطح پلوئیدی و طول و عرض سلول‌های محافظ روزنه وجود دارد و تراکم روزنه به طور منفی تحت تأثیر سطح پلوئیدی قرار می‌گيرد (Padoan *et al.*, 2013). در یک پژوهش، برای تعیین سطح پلوئیدی پایه‌های مختلف مرکبات، از تاهیتی لایم به عنوان گیاه استاندارد تریپلوئید در روش فلوسایتو متري استفاده شد و دریافتند که همه پایه‌های مورد بررسی دیپلوئید هستند. مقدار DNA هسته‌ای تاهیتی لایم ۱/۱۷۰ پیکوگرم و مقدار DNA هسته‌ای پایه‌های مورد بررسی از ۰/۹۸۴ پیکوگرم در گونه هیوکان (Citrus ampullacea) تا ۰/۶۷۸ پیکوگرم در نارنج سه‌برگ تخمین زده شد (Seker *et al.*, 2003).

روش‌های مستقیم نظیر شمارش کروموزومي و روش‌های غیرمستقیم شامل فلوسایتو متري و استفاده از ویژگی‌های ریخت‌شناسی. یکی از روش‌های تعیین سطح پلوئیدی، روش معمول شمارش کروموزومي در سلول‌های مریستم ریشه است که کاري وقت‌گير و تخصصي بوده و نيازمند تعداد زیادی بذر سالم است (Ghanavati and Eskandari, 2011) با توجه به تریپلوئيد بودن پرشین لایم و عدم تولید بذر، دسترسی به ریشه در آن با کشن بذر امکان‌پذیر نبوده و انجام روش شمارش کروموزومي تنها با انجام کشت درون شیشه‌ای آن و تولید ریشه در شرایط کشت بافت ميسر می‌باشد.

فلوسایتو متري یک روش سریع و با ارزش در تعیین محتوای DNA و سطح پلوئیدی گیاهان است که اندازه گیری محتوای DNA را در حجم زیادی از هسته‌های سلول امکان‌پذیر می‌کند (Seker *et al.*, 2003). استفاده از تکنیک فلوسایتو متري به عنوان یک روش آسان و سریع برای تعیین سطح پلوئیدی در گونه‌های مرکبات استفاده شده است (Aleza *et al.*, 2010). بررسی تعداد کلروپلاست‌ها در سلول‌های محافظ روزنه، اندازه روزنه و تعداد آن‌ها نيز از دیگر روش‌هایی است که در تعیین سطح پلوئیدی گیاهان کاربرد دارد.

به طور معمول با افزایش سطح پلوئیدي، تعداد روزنه در واحد سطح برگ کاهش یافته

مرکز تحقیقات و آموزش کشاورزی و منابع طبیعی هرمزگان انجام شد (جدول ۱). بدین منظور، نمونه‌های برگ ژنتیپ‌های مذکور، از باغات مرکبات استان‌های هرمزگان (رودان و میناب)، فارس (جهرم و داراب) و مازندران (رامسر و ساری) جمع‌آوری شد. برگ‌های جمع‌آوری‌شده، جهت بررسی ویژگی‌های ریخت‌شناصی برگ، تعداد روزنه و کیسه‌های ترشحی و برای آزمون فلوسایتومتری مورد استفاده قرار گرفتند.

بررسی صفات ریخت‌شناصی برگ

برگ‌های جوان و بالغ جمع‌آوری و در پلاستیک زیپ‌دار در یونولیت حاوی بخ خشک، به آزمایشگاه منتقل شد. در طول انتقال از تماس مستقیم نمونه‌های برگ با بخ خشک جلوگیری شد. ابعاد برگ (طول و عرض) با استفاده از خط‌کش بر حسب میلی‌متر در ۱۲ برگ بالغ اندازه‌گیری شد.

تراکم روزنه

به منظور مقایسه تعداد روزنه‌ها، برگ‌های بالغ مورد استفاده قرار گرفت. در گونه‌های مرکبات، روزنه‌ها فقط در سطح زیرین برگ مشاهده می‌شوند و در سطح رویی برگ هیچ روزنه‌ای وجود ندارد (Padoan *et al.*, 2013). جهت آماده‌سازی اپیدرم سطح زیرین برگ، ناحیه بین رگبرگ اصلی و حاشیه برگ، با استفاده از لاک بی‌رنگ به صورت یکنواخت

علاوه بر ویژگی‌های بارز پرشین‌لایم و پتانسیل رقابتی آن با مکزیکن‌لایم، این گونه لایم به فیتوپلاسمای بیماری جاروک لیموترش مقاوم است و تاکنون عالیمی از بیماری در شرایط طبیعی روی آن مشاهده نشده است (Salehi *et al.*, 2005). بر این اساس، گرایش به پرورش پرشین‌لایم در جنوب ایران افزایش یافته است.

از این رو، به منظور جلوگیری از کشت ژنتیپ‌های دیگر لایم، که از لحاظ ظاهری مشابه پرشین‌لایم بوده و در تحمل آن‌ها به بیماری جاروک لیموترش تردید وجود دارد، تعیین اصالت این گونه لایم ضروری به نظر می‌رسد. با توجه به تریپلوبیوتید بودن پرشین‌لایم، تعیین سطح پلوبیوتیدی ژنتیپ‌های مشابه با این گونه مرکبات می‌تواند به عنوان یکی از روش‌های تعیین اصالت آن‌ها مطرح باشد. هدف از پژوهش حاضر، بررسی سطح پلوبیوتیدی ژنتیپ‌های منسوب پرشین‌لایم و تعیین اصالت آن‌ها بود.

مواد و روش‌ها

این آزمایش در قالب طرح کاملاً تصادفی با ۱۸ ژنتیپ شامل ۱۴ ژنتیپ شناخته شده و ناشناخته منسوب به پرشین‌لایم (Mekzican Laim), *Citrus latifolia* Tanaka) (C. aurantifolia Swingle) به عنوان گیاه استاندارد دیپلوبیوتید، لیموی خیاری و دو ژنتیپ ناشناخته لایم (*Citrus* sp.), در سال ۱۳۹۵ در

جدول ۱- ژنوتیپ‌های لایم منسوب به پرشین لایم مورد مطالعه
Table 1. Evaluated lime genotypes known as Persian lime

Local name of genotype	نام محلی ژنوتیپ	نام اخصاری Abbreviation	علامت اخصاری	نام علمی Scientific name	Collecting location
Darab Persian lime	پرشین لایم داراب	IFD		<i>Citrus</i> sp.	Agricultural Garden- Darab- Fars
Cucumber shape lime	لیموی خیاری	CuL		<i>Citrus</i> sp.	
Forg-e-Darab Persian lime	پرشین لایم فورگ داراب	IFDF		<i>Citrus</i> sp.	Forg- Darab- Iran
Aboutalebi Persian lime	پرشین لایم ابوطالبی	IFJAb		<i>Citrus</i> sp.	Mohammad Abad- Jahrom- Fars
Amirsalari Persian lime	پرشین لایم امیرسالاری	IFJAm		<i>Citrus</i> sp.	Sadegh Abad- Jahrom- Fars- Iran
Kharkol	خارگل	IFJKh		<i>Citrus</i> sp.	
Andishmand 1 Persian lime	پرشین لایم اندیشمند ۱	IFJAn1		<i>Citrus</i> sp.	Hossein Abad Ghebleh- Jahrom-
Andishmand 2 Persian lime	پرشین لایم اندیشمند ۲	IFJAn2		<i>Citrus</i> sp.	
Kamali Persian lime	پرشین لایم کمالی	IFJK		<i>Citrus</i> sp.	Tang-e-Balouchi- Jahrom- Fars-
Egyption lime	لیموی به مصری	IFJKMes		<i>Citrus</i> sp.	
Mexicum line (standard diploid)	مکزیکن لایم (استاندارد دیپلوئید)	MX		<i>Citrus aurantifolia</i>	
Azhdari 1 Persian lime	پرشین لایم ازدری ۱	IHRA1		<i>Citrus</i> sp.	Bandemolla- Roudan- Hormozgan
Azhdari 2 Persian lime	پرشین لایم ازدری ۲	IHRA2		<i>Citrus latifolia</i>	
Azhdari 3 Persian lime	پرشین لایم ازدری ۳	IHRA3		<i>Citrus</i> sp.	
Deperse lime	دیرس لایم	DepL		<i>Citrus latifolia</i>	Agricultural Research Station- Hormozgan- Iran
Tahiti lime (triploid standard)	تاهیتی لایم (استاندارد تریپلوجیت)	TL		<i>Citrus latifolia</i>	
Bearss lime	بیرس لایم	BL		<i>Citrus latifolia</i>	Fajr Sari Horticulture Company- Mazandaran- Iran
IAC		IAC	IAC	<i>Citrus latifolia</i>	Citrus and Sub-tropical Fruits Research Center- Ramsar- Mazandaran- Iran

پتری دیش پلاستیکی در حضور ۴۰۰ میکرولیتر بافر استخراج هسته (محلول A کیت دستگاه Partec) به قطعات بسیار ریز خرد شد، به طوری که بافت برگ کله نشد.

پس از عبور سوسپانسیون حاصل از فیلترهای ۳۰ میکرومتری مجهز به توری نایلونی، ۱/۶ میلی لیتر محلول رنگ آمیزی هسته DAPI: (۶-۴-۲-فنیل آیندول)، سه قطره پلی وینیل پیرولیدون ۲ درصد و پنج قطره آسکوربیک اسید یک درصد به آن اضافه و پس از گذشت ۳۰ تا ۶۰ ثانیه، نمونه ها به طور مستقیم در لوله دستگاه فلوسایتومتری قرار داده شدند. محتوای DNA نمونه ها در Gain = ۵۱۰ اندازه گیری شد. سطوح پلولئیدی با استفاده از شاخص DI (DI) و براساس فرمول زیر محاسبه گردید (Hosseini *et al.*, 2014; Bakshi *et al.*, 2010

$$DI = \frac{Mode\ x}{Mode\ St} \quad \text{رابطه (۱):}$$

که در آن Mode x برابر مُد خروجی دستگاه برای نمونه مجهول و Mode St برابر مُد خروجی دستگاه برای نمونه استاندارد دیپلولئید بود. بر این اساس، شاخص DNA نمونه های دیپلولئید با استی کمتر یا مساوی یک باشد (۱). با توجه به در دست داشتن محتوای DNA تاهیتی لایم (۱/۱۷۰) Seket پیکو گرم) به عنوان یک نمونه مشخص (et al., 2003 براساس فرمول (۲) محاسبه گردید:

$$Q = R(\frac{E}{S}) \quad \text{رابطه (۲):}$$

که در آن Q برابر محتوای DNA نمونه

آغشته شد. پس از چند دقیقه، غشاء خشک شده با دقت با استفاده از نوار چسب برداشته و روی لام میکروسکوپ قرار داده شد (Golein *et al.*, 2015) ۱۰۰ برابر میکروسکوپ، از یک قطره روغن ایمرسیون استفاده شد و تعداد روزنها در ۱۲ نمونه برگ از هر ژنوتیپ در سه میدان دید مختلف شمارش گردید.

تراکم کیسه های ترشحی برگ

کیسه های ترشحی به آسانی و با چشم غیر مسلح در برگ مرکبات قبل رویت می باشد. با این حال، کیسه های ترشحی در سطح رویی برگ بهتر از سطح زیرین برگ قبل مشاهده بود. جهت شمارش کیسه های ترشحی، یک نمونه میکروسکوپی از ۱۲ نمونه برگ بالغ از هر ژنوتیپ تهیه و در سه میدان دید مختلف، تعداد کیسه های ترشحی در بزرگنمایی ۴ برابر شمارش شد.

تجزیه فلوسایتومتری

بدین منظور از دستگاه فلوسایتومتر Partec PA, Germany) طبق روش گا و همکاران (arc-UV (Gu *et al.*, 2005) با تغییراتی جزئی استفاده شد. نمونه های یک سانتی متر مربعی برگ (بدون رگ برگ اصلی) هر یک از ژنوتیپ های مورد بررسی، به همراه نمونه اس-تا ندارد دیپلولئید (مکزیکن لایم)، با استفاده از تیغ نازک در

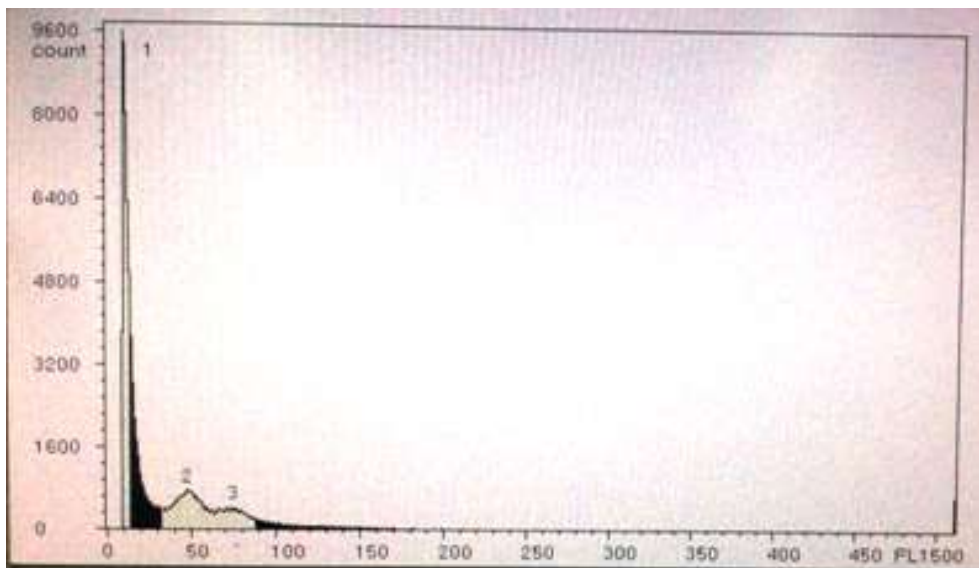
(کاملاً رشد یافته) بافت مناسبی برای انجام فلوسایتومتری هستند. هیستوگرام سوسپانسیون مخلوط مکزیکن لایم (دیپلولئید) و IFJAm (تریپلولئید) در شکل ۱ نشان داده شده است. در هیستوگرام به دست آمده، دو پیک بزرگ مربوط به فاز G₁ هر دو گونه گیاهی قابل مشاهده است. نتایج به دست آمده از تعزیز فلوسایتومتری نشان داد که ۱۴ ژنوتیپ گیاهی مورد بررسی تریپلولئید و بقیه دیپلولئید بودند. مُد هیستوگرام برای نمونه استاندارد دیپلولئید (مکزیکن لایم) و تریپلولئید (تاهیتی لایم) به ترتیب ۴۷/۹۴ و ۶۶/۹۱ بود (شکل ۱).

مجھول بر حسب پیکوگرم، R برابر محتوای DNA نمونه استاندارد (۱/۱۷۰ پیکوگرم)، E برابر میانگین پیک فلوسایتومتری نمونه مجھول و S برابر میانگین پیک فلوسایتومتری نمونه استاندارد (۶۶/۹۱) بود. تعزیزهای آماری با استفاده از نرم افزار SAS 9.1 انجام و میانگینها با استفاده از آزمون LSD در سطح احتمال یک درصد مقایسه شدند.

نتایج و بحث

تعزیز فلوسایتومتری

در مرکبات استفاده از برگ‌های جوان



شکل ۱- هیستوگرام سوسپانسیون مخلوط ژنوتیپ‌های مکزیکن لایم (دیپلولئید) و IFJAm (تریپلولئید)

Fig. 1. Histogram of mixed suspension of Mexican lime (diploid) and IFJAm (triploid) lime genotypes

مورد بررسی به دو گروه دیپلولئید و تریپلولئید تقسیم‌بندی شدند. بر این اساس، نمونه‌هایی که نسبت محتوای DNA آن‌ها بزرگ‌تر یا مساوی

با توجه به نسبت محتوای DNA (نسبت محتوای DNA نمونه استاندارد تریپلولئید به محتوای DNA نمونه مورد نظر)، ژنوتیپ‌های

دیپلولئید قرار گرفتند. با توجه به شباهت بسیار زیاد این ژنوتیپ‌ها به مکزیکن لایم، به نظر می‌رسد این ژنوتیپ‌ها، از دانه‌الهای جنسی مکزیکن لایم منشاء گرفته باشند. محدوده شاخص DNA در این ژنوتیپ‌ها ۰/۸۹۶-۱/۰۰۰ و در ژنوتیپ‌های تریپلولئید ۱/۳۱۳-۱/۵۶۳ بود (جدول ۲).

۱/۳۹۶ بود، به عنوان دیپلولئید و بقیه به عنوان نمونه‌های تریپلولئید گروه‌بندی شدند (Seker *et al.*, 2003).

نسبت محتوای DNA نشان داد که فقط لیموی موسوم به مصری، خارکُل و لیموی خیاری دیپلولئید و بقیه ژنوتیپ‌های مورد بررسی تریپلولئید بودند. براساس شاخص DNA نیز مشخص شد که ژنوتیپ‌های فوق در گروه

جدول ۲- نتایج تجزیه فلوسایتومتری برای ژنوتیپ‌های لایم منسوب به پرشین لایم
Table 2. Flow cytometry results for lime genotypes known as Persian lime

ژنوتیپ Genotype	مد Mode	میانگین Mean	محتوای DNA (پیکوگرم) DNA content (pg)	نسبت محتوای DNA DNA content ratio [†]	شاخص DNA index ^{‡‡}	سطح پلیویدی Ploidy level
IFD	69	69.40	1.214	0.964	1.438	3x
IFDF	69	68.75	1.202	0.854	1.438	3x
IFJAb	73	73.78	1.290	0.907	1.521	3x
IFJAm	74	74.19	1.297	0.902	1.542	3x
IFJAn1	71	70.59	1.234	0.948	1.479	3x
IFJAn2	75	73.69	1.289	0.908	1.563	3x
IFJK	74	72.79	1.273	0.919	1.542	3x
IFJKh	43	43.45	0.760	1.540	0.896	2x
IFJKMes	48	46.30	0.810	1.445	1.000	2x
CuL	44	43.68	0.764	1.532	0.917	2x
MX	48	47.94	0.838	1.396	1.000	2x
IHRA1	64	62.63	1.090	1.073	1.333	3x
IHRA2	65	63.89	1.117	1.047	1.354	3x
IHRA3	63	62.54	1.094	1.070	1.313	3x
DepL	65	64.55	1.129	1.037	1.354	3x
TL	67	66.91	1.170	1.000	1.396	3x
BL	64	59.00	1.032	1.134	1.333	3x
IAC	66	65.72	1.149	1.018	1.375	3x

*نسبت محتوای DNA: نسبت محتوای DNA ژنوتیپ تریپلولئید (تاتیتی لایم) به محتوای DNA ژنوتیپ‌های مورد مطالعه.

[†]DNA content ratio: Ratio of triploid genotype (Tahiti lime) DNA content to the evaluated genotype.

^{‡‡}شاخص DNA: نسبت مُد ژنوتیپ‌های مورد بررسی به مُد ژنوتیپ دیپلولئید (مکزیکن لایم).

^{‡‡}DNA index: Ratio of the evaluated genotype mode to diploid genotype (Mexican lime) mode.

* For abbreviations refer to Table 1.

* برای اختصارهای جدول ۱ مراجعه شود.

ژنوتیپ‌های دو گروه دیپلولئید و تریپلولئید،

براساس مقایسه‌های گروهی انجام شده بین

مقادیر بدست آمده در گروه تریپلولئید (به ترتیب ۱/۱۸۴ پیکو گرم، ۰/۹۸۴ و ۰/۴۲۷) به طور معنی‌داری بیشتر از گروه دیپلولئید (به ترتیب ۰/۷۹۳ پیکو گرم، ۱/۴۷۸ و ۰/۹۵۳) بود (جدول ۳). متوسط مُد فلوسایتومتری در گروه تریپلولئید (۶۷/۲) به طور معنی‌داری بیشتر از گروه دیپلولئید (۴۵/۸) بود. در خصوص میانگین فلوسایتومتری نیز نتایج مشابهی حاصل شد (۶۷/۷ در مقابل ۴۵/۳). در خصوص سه پارامتر محتوای DNA نسبت محتوای DNA و شاخص DNA نیز

جدول ۳- مقایسه گروهی ژنوتیپ‌های دیپلولئید و تریپلولئید لایم بر اساس نتایج فلوسایتومتری
Table 2. Group comparison of diploid and triploid lime genotypes using the results of flow cytometry

Flow cytometry parameter	پارامتر فلوسایتومتری	Genotype group		گروه ژنوتیپ	
		دیپلولئید Diploid	تریپلولئید Triploid	F value	P value
Mode	مُد	45.8 ± 0.79	67.2 ± 0.65	17.54 **	<0.0001
Mean	میانگین	45.3 ± 0.59	67.7 ± 0.74	15.69 **	<0.0001
DNA content (pg)	محتوای DNA (پیکو گرم)	0.793 ± 0.010	1.184 ± 0.013	15.69 **	<0.0001
DNA content ratio	نسبت محتوای DNA	1.478 ± 0.019	0.984 ± 0.012	19.53 **	<0.0001
DNA index	شاخص DAN	0.953 ± 0.016	1.427 ± 0.014	17.51 **	<0.0001

*: معنی‌دار در سطح احتمال یک درصد.

**: Significant at the 1% probability level.

مکزیکن لایم، لیموی خیاری، خارکُل کمتر (به ترتیب ۳۹، ۴۰، ۴۰ و ۶۵ میلی‌متر) مشاهده شد. از طرفی IAC، بیرس لایم، IFJK و IFJAm در گیاهان تریپلولئید (به ترتیب ۶۷، ۶۷، ۶۴ و ۶۰ میلی‌متر) دارای عرض برگ بیشتری بودند (جدول ۴). در مجموع، میانگین طول و عرض برگ در گیاهان تریپلولئید (به ترتیب ۹۷ و ۵۶ میلی‌متر) بیشتر از گیاهان دیپلولئید (به ترتیب ۶۹ و ۴۱ میلی‌متر) بود.

ویژگی‌های ریخت‌شناسی برگ مقایسه میانگین ابعاد برگ نشان داد که نوع موسوم به مصری، لیموی خیاری، مکزیکن لایم و خارکُل (به ترتیب ۵۹، ۶۸، ۶۸ و ۷۴ میلی‌متر) دارای طول برگ کمتری بودند. در مقابل طول برگ در ژنوتیپ‌های منسوب به پرشین لایم بیشتر از بقیه گونه‌های مورد بررسی بود. بیشترین طول برگ در IAC، بیرس لایم، IHRA1 و IFJAn2 (به ترتیب ۱۱۳، ۱۲۰، ۱۱۱ و ۱۰۹ میلی‌متر) مشاهده شد (جدول ۴).

عرض برگ در نوع موسوم به مصری،

جدول ۴- مقایسه میانگین ابعاد برگ، تراکم روزنه و کیسه‌های ترشحی در ژنوتیپ‌های لایم منسوب به پرشین لایم

Table 4. Mean comparison of leaf dimensions, stomatal and secretory sac density in lime genotypes known as Persian lime

ژنوتیپ Genotype	طول برگ (mm) Leaf length (mm)	عرض برگ (میلی‌متر) Leaf width (mm)	تراکم روزنه (۱۰۰x) Stomatal density (100x)	تراکم کیسه ترشحی (۴x) Secretory sac density (4x)
IFD	83f-i	50efg	7.7fgh	33.7de
IFDF	94def	54c-f	6.8gh	32.3ef
IFJAb	90def	56cde	8.3fg	23.0jkl
IFJAm	100bcd	64ab	8.2fg	32.0ef
IFJAn1	100bcd	57b-e	9.2ef	25.0h-k
IFJAn2	109abc	58bcd	8.3fg	29.0fg
IFJK	97cde	60abc	8.8ef	24.3i-l
IFJKh	74g-k	46g-k	14.0a	64.3a
IFJKMes	59l	39k	13.0a	64.0a
CuL	68kl	40ijk	12.0bc	65.0a
MX	74h-k	40jk	12.3bc	47.0b
IHRA1	111ab	57b-e	6.3h	21.0l
IHRA2	87d-g	56cde	7.7fgh	21.7kl
IHRA3	82f-j	51d-g	8.2fg	28.0gh
DepL	83f-i	47f-i	9.2ef	27.0ghi
TL	85e-h	47g-j	10.3de	25.7g-j
BL	120a	67a	7.7fgh	29.0fg
IAC	113a	67a	7.8fgh	37.0d

میانگین‌هایی، در هر ستون، که حداقل دارای یک حرف مشترک هستند، بر اساس آزمون حداقل تفاوت معنی‌دار ندارند.
Means, in each column, followed by at least one letter in common are not significantly different- Using Least Significant Difference Test.

* For abbreviations refer to Table 1.

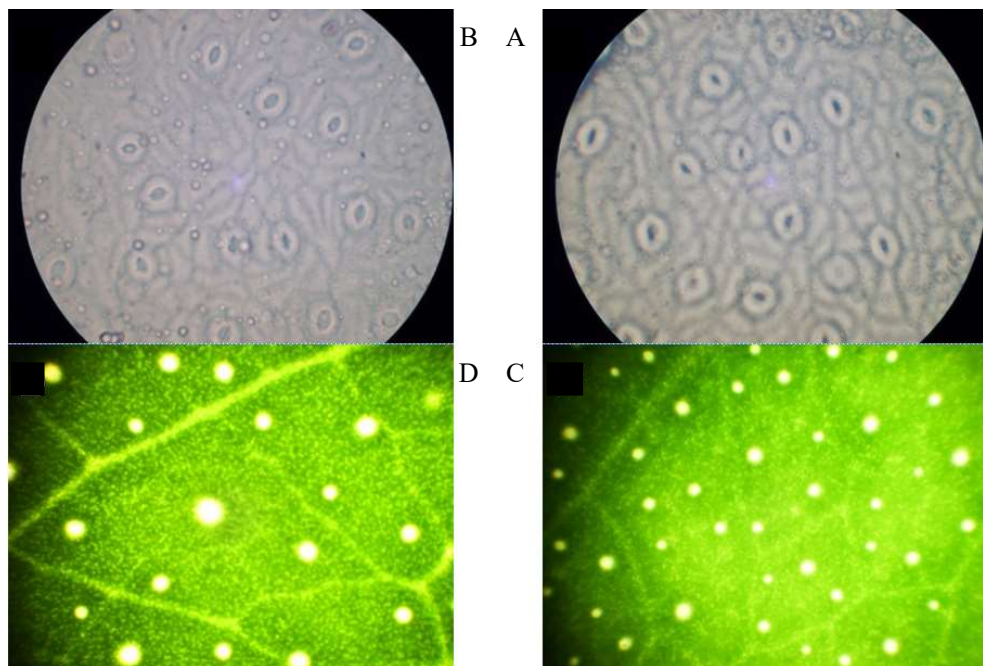
* برای اختصارات به جدول ۱ مراجعه شود.

(شکل ۲A و ۲B). ژنوتیپ‌های منسوب به

پرشین لایم به طور میانگین بین ۶/۳ تا ۱۰/۳ روزنه در واحد سطح داشتند که به طور معنی‌داری کمتر از گروه اول بود (جدول ۴). در این رابطه همبستگی منفی بسیار معنی‌داری (r = -0.901**) بین تعداد روزنه و سطح پلوئیدی وجود داشت (نتایج ارائه نشده است).

تراکم روزنه

بیشترین تعداد روزنه در بزرگنمایی صد برابر میکروسکوپ (۰/۲۵ سانتی‌مترمربع)، مربوط به برگ خارکل و نوع موسم به مصیری (به ترتیب ۱۴/۰ و ۱۳/۰ روزنه) بود. در ردی بعدی مکزیکن لایم قرار داشت که به طور میانگین ۱۲/۳ روزنه در واحد سطح داشت



شکل ۲- تراکم روزنه و کیسه‌های ترشحی در برگ مکزیکن لایم (A و C) به عنوان ژنوتیپ دیپلولئید و تاهیتی لایم (B و D) به عنوان ژنوتیپ تریپلولئید

Fig. 2. Stomatal and secretory sac density in leaf of Mexican lime (A and C) as diploid and Tahiti lime (B and D) as triploid genotypes

داشت. ژنوتیپ‌های لیمو منسوب به پرشین لایم به طور میانگین بین $21/0$ تا $37/0$ کیسه ترشحی در واحد سطح داشتند که به طور معنی‌داری کمتر از گروه اول بود (جدول ۴- شکل ۲C و ۲D). در این رابطه همبستگی منفی معنی‌داری $-0/928^{**}$ بین تعداد کیسه‌های ترشحی و سطح پلولیدی مشاهده شد (نتایج ارائه نشده است). به طوری که ژنوتیپ‌های دیپلولئید تعداد کیسه ترشحی بیشتری در واحد سطح برگ داشتند.

در پژوهش حاضر، میانگین محتوای DNA در گیاهان دیپلولئید $0/793$ و در گیاهان تریپلولئید

به طوری که ژنوتیپ‌های تریپلولئید تعداد روزنه کمتری در واحد سطح برگ داشتند.

تراکم کیسه ترشحی

مقایسه میانگین‌ها نشان داد که تعداد کیسه ترشحی در بزرگنمایی چهار برابر میکروسکوپ $0/25$ سانتی‌مترمربع، در برگ بالغ لیموی خیاری، خارکل و نوع موسوم به مصری (به ترتیب $65/0$, $64/3$ و $64/0$ کیسه ترشحی) بطوط معنی‌دار بیشتر بود (جدول ۴). در رده بعدی مکزیکن لایم قرار داشت که به طور میانگین $47/0$ کیسه ترشحی در واحد سطح

رافلمون) به روش فلوسایتومتری ارزیابی و گزارش شد $52/3$ درصد نتایج تریپلولوئید، $35/7$ درصد آن‌ها دیپلولوئید و مابقی آنیوپلولوئید و تترالولوئید بودند (Zhu *et al.*, 2009). در بسیاری از آزمایش‌ها که روی گیاهان مختلف از جمله مرکبات انجام شده است، هدف افزایش مصنوعی سطح پلولوئیدی با استفاده از تیمار کلشی‌سین بوده است. در همه این پژوهش‌ها، پس از استفاده از تیمار کلشی‌سین، سنجش سطح پلولوئیدی گیاهان حاصل، با استفاده از روش فلوسایتومتری انجام شده است (Kainth and Grosser, 2010).

نتایج مربوط به ویژگی‌های برگ نشان داد که ژنوتیپ‌های منسوب به پرشین لایم، طول و عرض برگ بیشتری نسبت به بقیه ژنوتیپ‌های مورد بررسی داشتند. البته این مورد به میزان زیادی به مکان نمونه گیری وابسته بود. به عنوان مثال، برخی ژنوتیپ‌های منسوب به پرشین لایم (IAC و بیرس لایم) به ترتیب از پژوهشکده مرکبات و میوه‌های نیمه گرمسیری رامسر و شرکت بغدادی فجر ساری تهیه شده بود. به طور کلی اندازه برگ مرکبات در شمال ایران بزرگ‌تر از جنوب ایران است که دلیل آن تعادل بیشتر دما و تابش کمتر آفتاب می‌باشد. زیرا سطح برگ گیاهان در تابش کمتر آفتاب افزایش می‌یابد (Ziveak *et al.*, 2014).

در پژوهش حاضر، میانگین طول و عرض برگ در ژنوتیپ‌های تریپلولوئید بیشتر از دیپلولوئید بود. این نتایج با یافته‌های پادوان و

۱/۱۸۴ پیکوگرم بود. به طور کلی، نسبت محتوای DNA در تیپ‌های تریپلولوئید به دیپلولوئید برابر ۱/۴۹۳ بود. با توجه به این که محتوای ژنوم در گیاهان تریپلولوئید ۱/۵ برابر محتوای ژنوم در گیاهان دیپلولوئید است، می‌توان نتایج حاصل از گروه‌بندی دیپلولوئید و تریپلولوئید را قابل قبول دانست.

در مطالعات انجام شده مشابه قبلی در مرکبات نیز، براساس نسبت محتوای DNA نمونه مجهول به نمونه معلوم و یا براساس شاخص DNA سطح پلولوئیدی گیاهان مورد بررسی تخمین زده شد. به طوری که با در دست داشتن محتوای DNA گیاه استاندارد تریپلولوئید (تاهیتی لایم)، سطح پلولوئیدی پایه‌های دانه‌ای نارنج سه‌برگ، نارنج، رافلمون، ولکامرلمون، کلئوپاتراماندارین، هیوکان، سانبوکان، کین‌کوجی، کاریزو و سیترنج و سوینینگل سیتروملو را دیپلولوئید گزارش شده است (Seker *et al.*, 2003).

هسته‌ای تاهیتی لایم را ۱/۱۷۰ پیکوگرم و مقدار هسته‌ای پایه‌های مورد بررسی را از DNA ۰/۶۷۸ پیکوگرم در گونه هیوکان تا ۰/۹۸۴ پیکوگرم در نارنج سه‌برگ برآورد کردند.

در یک پژوهش نارنگی بندیزائو (Citrus reticulata) دیپلولوئید مورد استفاده قرار گرفت و سطح پلولوئید نتاج حاصل از گیاهان تریپلولوئید (حاصل از تلاقی نارنگی بندیزائو و یک گیاه تترالولوئید حاصل از تلاقی پرتقال هاملین و

(Ye *et al.*, 2010; Yuan *et al.*, 2009 همخوانی داشت. گزارش شده است که با افزایش سطح پلولیوئیدی، تعداد روزنے در واحد سطح برگ کاهش ولی اندازه سلول محافظه روزنے افزایش می‌یابد; Kwon *et al.*, 2015; Padoan *et al.*, 2013; Yahata *et al.*, 2005). اندازه سلول‌های محافظه روزنے در گیاهان دیپلولوئید به‌طور معنی‌داری کوچک‌تر از گیاهان تریپلولوئید می‌باشد. همچنین تراکم روزنے در گیاهان دیپلولوئید (۶-۷) بیشتر از گیاهان تریپلولوئید (۴-۳) بود. (Padoan *et al.*, 2010)

2013)

هماهنگی اندازه و تراکم روزنے یک ویژگی مهم در افزایش کارایی مصرف آب است. در شرایط محیطی خشک، روزنے‌های کوچک واکنش سریعی به تنش آبی نشان می‌دهند و از طرفی تراکم زیاد روزنے، در شرایط مطلوب برای فتوستره، منجر به حداقل انتشار گاز کربنیک می‌شود. افزایش تراکم روزنے با هدایت روزنه‌ای و سرعت تعرق بیشتر همراه است، که برای انتقال آب و مواد غذایی از مسیر طولانی آوندهای چوبی ضروری است.

روزندهای کوچک منجر به مقاومت بیشتر و کنترل روزنها در شرایط تنش آبی می‌شود. تغییر در مورفولوژی برگ و کاهش تراکم روزنے، به‌طور معنی‌داری افت آب از برگ‌ها را در گیاهان تریپلولوئید مرکبات نسبت به گیاهان دیپلولوئید کاهش می‌دهد (Padoan *et al.*, 2013).

همکاران (Padoan *et al.*, 2013) مغایرت داشت. البته در پژوهش آن‌ها مقایسه بین گیاهان دیپلولوئید و تریپلولوئید یک گونه گیاهی (نارنگی کلمانتین) انجام شده بود. کرون و همکاران (Kwon *et al.*, 2015) نیز گزارش نمودند که طول برگ در گیاهان دیپلولوئید به‌طور معنی‌داری بیشتر از گیاهان تریپلولوئید بود. با این حال به‌طور مکرر گزارش شده است که پلی‌پلولوئیدی اندازه و سطح برگ را افزایش می‌دهد (Ye *et al.*, 2010).

نتایج پژوهش حاضر با یافته‌های دیگر محققان (Hosseini *et al.*, 2014; Ye *et al.*, 2010; Zhu *et al.*, 2009; Yahata *et al.*, 2005) که میان بالاتر بودن ابعاد برگ در گیاهان تریپلولوئید نسبت به دیپلولوئید بود، مطابقت دارد. به‌نظر می‌رسد لغت latifolia به عنوان صفت گونه‌ای پرشین لایم، از کلمه Latifoliate به معنی برگ پهن اقتباس شده است (Anonymous, 2003). بهمین دلیل گونه‌هایی از مرکبات که به نام پرشین لایم یا تاهیتی لایم معروف هستند، با نام علمی Citrus latifolia شناخته می‌شوند.

در پژوهش حاضر، مشخص شد که ژنوتیپ‌های تریپلولوئید تعداد روزنے کمتری نسبت به ژنوتیپ‌های دیپلولوئید در واحد سطح برگ داشتند (جدول ۴، شکل ۲A و ۲B) که با یافته‌های دیگر محققان (Hosseini *et al.*, 2014; Padoan *et al.*, 2013;

جاروک لیموترش در دهه ۷۰، بخش عمده درختان لیموترش (مکزیکن لايم) آلوده شدند و با توجه به حساسیت این گونه مركبات به فیتوپلاسمای عامل بیماری جاروک، تاکنون سطح زیرکشت قابل ملاحظه‌ای از لیموترش منطقه از بین رفته است.

پرشین لايم (*Citrus latifolia* Tanaka) در طبیعت و نیز در آزمایش‌های ما یه‌زنی، علایم بیماری جاروک نشان نداده است و به عنوان یک منبع تحمل مطرح می‌باشد. با توجه به این که گیاهان با سطوح پلوئیدی بالاتر، تحمل بیشتری نسبت به گیاهان با سطوح پلوئیدی کمتر در برابر تنش‌های زنده و غیرزنده دارند (Lavania, 2005)، شاید بتوان تحمل نسبی پرشین لايم به بیماری جاروک لیموترش را به تریپلوبیت بودن آن نسبت داد.

در چند سال اخیر، با توجه به تقاضای باudاران جنوب ایران، توسعه کشت پرشین لايم در دستور کار قرار گرفته است و تولید کنندگان نهال اقدام به تولید این گونه مركبات روی پایه‌های مختلف کرده‌اند. در جنوب ایران، مخصوصاً استان‌های فارس و هرمزگان، پرشین لايم در مواردی با نام لیمو مصری شناخته می‌شود. لیمو مصری (Egyptian lime) در اصل یک دانه‌ال حاصل از مکزیکن لايم است که به دلیل درشت بودن میوه‌ها یش، شباهت‌های ظاهری با پرشین لايم دارد (USDA, 2002). براساس پژوهش‌های انجام شده توسط نگارندگان، این نوع مركبات در ایران وجود

است که تراکم روزنه در برگ گیاهان تراپلوبیت لیموترش به طور معنی‌داری کمتر از برگ گیاهان دیپلوبیت بود. به عقیده آن‌ها دلیل کاهش تراکم روزنه در گیاهان تراپلوبیت، افزایش اندازه سلول‌ها در گیاهان تراپلوبیت نسبت به گیاهان دیپلوبیت و در نتیجه کاهش تراکم روزنه در واحد سطح بود (Afshar-Mohammadian et al., 2013).

ژنوتیپ‌های لايم منسوب به پرشین لايم به طور میانگین بین ۲۱/۰ تا ۳۷/۰ کیسه ترشحی در واحد سطح داشتند که به طور معنی‌داری کمتر از گیاهان دیپلوبیت بود. نتایج فوق بایافته‌های یک پژوهش روی لیموترش مطابقت دارد

(Afshar-Mohammadian et al., 2013). نتایج این پژوهش نشان داد که تراکم کیسه‌های ترشحی در برگ گیاهان تراپلوبیت لیموترش به طور معنی‌داری کمتر از برگ گیاهان دیپلوبیت بود. کیسه‌های ترشحی از طریق تحلیل رفتادن یک یا چند سلول در لابلای سلول‌ها ایجاد می‌شود. بزرگتر بودن کیسه‌های ترشحی (ناشی از کاهش تراکم آن‌ها در واحد سطح برگ) در برگ مركبات تریپلوبیت نسبت به مركبات دیپلوبیت، می‌تواند ناشی از بزرگتر بودن سلول‌های گیاهان تریپلوبیت باشد (Afshar-Mohammadian et al., 2013).

نتیجه‌گیری

در مناطق جنوبی ایران با شیوع بیماری

به جای پرشین لایم، به اصالت تاریخی این رقم،
که در دنیا با عنوان لیموی ایرانی شناخته می‌شود،
خدشه وارد می‌کند.

سپاسگزاری

نگارندگان از محققان محترم بخش ذخایر
تواری و بانک ژن گیاهی ملی ایران و مؤسسه
تحقیقات اصلاح و تهیه نهال و بذر، کرج، بویژه
آقای دکتر عباسی کوهپایگانی و آقای مهندس
بکایی بهدلیل راهنمایی در استفاده از دستگاه
فلوسایتومتری کمال تشکر را دارند.

ندارد و ژنوتیپی از لیموترش که در منطقه جهرم
فارس به این نام شناخته می‌شود، در واقع یک
ژنوتیپ حاصل از دانهالهای جنسی
مکزیکن لایم است و اطلاق نام مصری به این نوع
لیموترش اشتباه است.

بر اساس نتایج به دست آمده در پژوهش
حاضر، نوع موسوم به مصری، خارکُل و
لیموی خیاری همگی دیپلوئید بوده و کشت
آنها با عنوان مصری یا پرشین لایم در مناطق
آلوده به جاروک لیموترش قابل توصیه
نمی‌باشد. همچنین به کار بردن واژه لیمو مصری

References

- Afshar-Mohammadian, M., Omidi, Z., Purakbari-kasmaei, R., and Asadi-Abkenar, A. 2013.** The effect of polyploidy on some anatomical and antioxidant characteristics of *Citrus aurantifolia*. Journal of Plant Researches (Iranian Journal of Biology) 26(3): 238-246 (in Persian)
- Aleza, P., Juarez, J., Cuenca, J., Ollitrault P., and Navarro, L. 2010.** Recovery of citrus triploid hybrids by embryo rescue and flow cytometry from $2X \times 2X$ sexual hybridization and its application to extensive breeding programs. Plant Cell Report 29: 1023-1034.
- Anonymous. 2003.** Narcis dictionary. Computer Software. www.narcissoft.com.
- Bakhshi, B., Aghaei M. J., Bihamta M. R., Darvish, F., and Zarifi, E. 2010.** Ploidy determination of *Aegilops cylindrica* host accessions of Iran by using flow cytometry and chromosome counting. Iranian Journal of Botany 16(2): 258-266.
- Cantuarias-Avilés, T., Filhoa, F. A. A. M., Stuchi, E. S., Da-Silva, S. R., Espinosa-Nuneza, E., and Neota, H. B. 2012.** Rootstocks for high fruit yield and quality of 'Tahiti' lime under rainfed conditions. Scientia Horticulturae 142: 105-111.
- Cottin, R. 2002.** Citrus of the world: a citrus directory. Version 2.0. France: SRA INRACIRAD. 62 pp.
- Curk, F., Ollitrault, F., Garcia-Lor, A., Luro, F., Navarro, L., and Ollitrault, P.**

- 2016.** Phylogenetic origin of limes and lemons revealed by cytoplasmic and nuclear markers. *Annals of Botany*: 1-19.
- Germana, M. A., Germana, M. P., Motisi, A., and Sottile, F. 2002.** Research on stomata frequency and size in several citrus species. Pp. 100-102. In: Proceedings of 7th International Citrus Congress, International Society of Citriculture.
- Ghanavati, F., and Eskandari, H. 2011.** Relationship between the chloroplast number in stomatal guard cells, flow cytometry and ploidy level in *Onobrychis* spp. *Seed and Plant Improvement Journal* 27(3): 427-439 (in Persian)
- Golein, B., Rabiei, V., Mirabbasi, F., Fifaei, R., and Hallaji-Sani, M. F. 2015.** Effect of salinity stress on physiology and biochemistry characteristics of citrus genotypes. *Journal of Horticultural Science* 29(3): 416-425 (in Persian)
- Gu, X. F., Yang, A. F., Meng, H., and Zhang, J. R. 2005.** In vitro induction of tetraploid plants from diploid *Zizyphus jujube* Mill. cv. Zhanhua. *Plant Cell Report* 24: 671-676.
- Hodgson, R. W. 1967.** Horticultural varieties of Pp. 431-592. In: Reuther, W., Webber, H. J. and Batchelor, L. D (eds.). *The citrus industry*, Volume I. University of California Press.
- Hosseini, H. R., Chehrazi, M., Nabati-Ahmadi, D., and Mahmoodi-Soorestani, M. 2014.** Induction of auto-tetraploidy in Madagascar periwinkle (*Catharanthus roseus* cv. Rosea) by colchicine treatment in order to induce diversity of morph-physiological and phenology traits. *Journal of Plant Process and Function* 3(9): 1-10 (in Persian)
- Jaskani, M. J., Khan, M. M., and Khan, I. A. 2002.** Growth, morphology and fruit comparison of diploid and tetraploid Kinnow mandarin. *Pakistan Journal of Agriculture Sciences* 39: 126-128.
- Kainth, D., and Grosser, J. W. 2010.** Induction of auto-tetraploids in pummelo (*Citrus grandis* L. Osbeck) through colchicine treatment of meristematically active seeds *In vitro*. *Proceedings of the Florida State Horticultural Society* 123: 44-48.
- Kwon, S. J., Roy, S. K., Cho, K. Y., Moon, Y. J., Woo, S. H., and Kim, H. H. 2015.** Effect of Colchicine on the induction of *Prunella vulgaris* for. *albiflora* Nakai. *Korean Journal of Crop Science* 60(1): 107-113.
- Lavania, U. C. 2005.** Genomic and ploidy manipulation for enhanced production of phyto-pharmaceuticals. *Plant Genetic Research* 3: 170-177.
- Longley, A. E. 1925.** Polycarpy, polyspory and polyploidy in citrus and citrus relatives.

- The Washington Academy of Science 15: 347-357.
- Malekzadeh-Shafaroodi, S., Ghani, A., Habibi, M., and Amiri, A. 2011.** Evaluation the possibility of polyploidy induction in sweet basil (*Ocimum basilicum* L.) by colchicine treatment. Journal of Horticultural Science 25(4): 461-469 (in Persian)
- Padoan, D., Mossad, A., Chiancone, B., Germana, M. A., and Valli Khan, P. S. S. 2013.** Ploidy levels in *Citrus clementine* affect leaf morphology, stomatal density and water content. Theoretical and Experimental Plant Physiology 25(4): 283-290.
- Salehi, M., Nejat, N., Tavakoli, A. R., and Izadpanah, K. 2005.** Reaction of citrus cultivars to *Candidatus Phytoplasma aurantifolia* in Iran. Journal of Plant Diseases 41: 363-376 (in Persian)
- Seker, M., Tuzcu, O., and Ollitrault, P. 2003.** Comparison of nuclear DNA content of citrus rootstock populations by flow cytometry analysis. Plant Breeding 122: 169-172.
- Shahriari-Ahmadi, F., Dehghan, E., Farsi, M., and Azizi, M. 2008.** Tetraploid induction of *Hyoscyamus muticus* L. using colchicine treatment. Pakistan Journal of Biological Sciences 11: 2653-2659.
- Singh, A., Nagvi, S. A. M. H., and Singh, S. 2002.** Citrus germplasm, cultivars and rootstocks. Kalyani Publishers, New Delhi. 166 pp.
- USDA. 2002.** Citrus variety collection: Egyptian lime. University of California Riverside, CRC 2883, PI 185427. <https://citrusvariety.mcr.edu./Citrus/egyption.html>.
- Yahata, M., Harosaki, S., Komatsu, H., Takami, K., Kunitake, H., Yabuya, T., Yamashita, K., and Toolapong, P. 2005.** Morphological characterization and molecular verification of a fertile haploid pummel (*Citrus grandis* Osbeck). American Society for Horticultural Science 130(1): 34-40.
- Ye, Y. M., Tong, J., Shi, X. P., Yuan, W., and Li, G. R. 2010.** Morphological and cytological studies of diploid and Colchicine-induced tetraploid lines of crape myrtle (*Lagerstroemia indica* L.). Scientia Horticulturae 124: 95-101.
- Yuan, S. X., Liu, Y. M., Fang, Z. Y., Yang, L. M., Zhuang, M., Zhang, Y. Y., and Sun, P. T. 2009.** Study on the relationship between the ploidy level of microspore-derived plants and the number of chloroplasts in stomatal guard cells in *Brassica oleracea*. Agricultural Sciences in China 8: 939-946.
- Zhu, S. P., Song, J. K., Hu, Z. Y., Tan, B., Xie, Z. Z., Yi, H. L., and Deng, X. X. 2009.**

Ploidy variation and genetic composition of open-pollinated triploid citrus progenies.
Botany Studies 50: 319-324.

Ziveak, M., Brestic, M., Kalaji, H. M., and Govindjee, Kh. 2014. Photosynthetic responses of sun- and shade-grown barley leaves to high light: is the lower PSII connectivity in shade leaves associated with protection against excess of light?
Photosynthetic Research 119: 339-354.